

с помощью соотношения (см. работу [8])

$$p\tau_{sp} = \operatorname{tg} \psi_{4.5/\omega} = \left[\left(G_2 - \frac{C_{\text{колеб.}}}{C_{\text{пол.}}} \right) p\tau_{vt} + p\tau_{vv}^{(001)} \right], \quad (5)$$

где $p\tau_{vv}^{(001)}$ — время колебательно-колебательной релаксации для процесса (4).

Используя результат работы [9], т. е. считая значение $p\tau_{vv}^{(001)}$ равным 1.74 мксек. \times атм., получаем, принимая $C_{\text{колеб.}}/C_{\text{пол.}} = 0.32$ и $p\tau_{vt} = 0.8$ мксек. \cdot атм., что параметр $G_2 = 0.95$, т. е. что параметр G_2 имеет величину, указывающую на преимущественную передачу энергии уровня 00¹ колебательным уровням, весьма близко расположенным к исходному.

Литература

- [1] C. B. Moogre, R. E. Wood, B. L. Hu, J. T. Yardley. *J. Chem. Phys.*, **46**, 4222, 1967.
- [2] R. Tripodi, W. G. Vincenti. *J. Chem. Phys.*, **55**, 2207, 1971.
- [3] П. В. Слободская, Н. Ф. Ткаченко. *Опт. и спектр.*, **23**, 480, 1967.
- [4] П. В. Слободская, Н. Ф. Ткаченко. *Опт. и спектр.*, **26**, 195, 1969.
- [5] П. В. Слободская. *Опт. и спектр.*, **34**, 678, 1973.
- [6] J. W. Arnold, J. C. Mc Courey, A. R. Ubbelohde. *Proc. Roy. Soc.*, **248A**, 445, 1958.
- [7] R. P. Gross, T. K. McCubbin. *J. Mol. Spectry*, **18**, 240, 1964.
- [8] M. Huetz-Aubert, P. Chevalier, R. Tripodi. *J. Chem. Phys.*, **54**, 2289, 1971.
- [9] J. T. Yardley. *J. Chem. Phys.*, **49**, 2816, 1968.

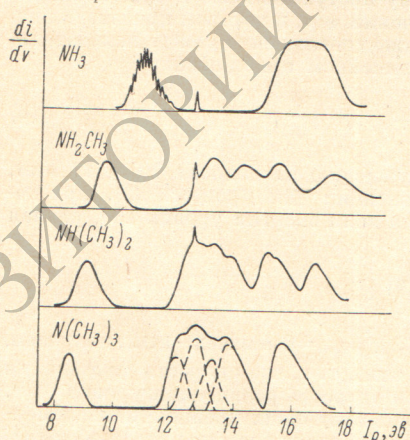
Поступило в Редакцию 8 января 1973 г.

УДК 539.198

ФОТОЭЛЕКТРОННЫЕ СПЕКТРЫ И СТРУКТУРА МОЛЕКУЛЯРНЫХ ОРБИТАЛЕЙ МЕТИЛАМИНОВ

В. И. Вовна и Ф. И. Вилесов

Фотоэлектронный (ФЭ) спектр NH_3 с высоким разрешением получен Тернером [1] и Брантоном с соавторами [2]. В этих работах показано, что первый потенциал ионизации (I_p), равный 10.15 эв, соответствует удалению электронов с орбитали $3s_1 (2p_z \text{N})$.



ФЭС аммиака и метиламинов.

Узкая полоса в районе 12.6 эв соответствует первому I_p H_2O .

В молекуле $\text{NH}_2(\text{CH}_3)$ (симметрия C_s) 14 валентных электронов заполняют пять орбиталей симметрии a' и $2 - a''$, причем орбитали $1a'$ и $2a'$ представляют собой почти чистые $2s\text{N}$ и $2s\text{C}$ АО соответственно и должны иметь $I_p \sim 30$ и ~ 20 эв. Верхнюю заполненную MO $5a'$, как и в NH_3 , можно аппроксимировать AO $2p_z \text{N}$.

Оставшимся четырем MO в ФЭ спектре (см. рисунок) соответствуют полосы с максимумами у 13.11, 14.35, 15.46 и 16.89 эв. Интерпретация этих

В данной работе сделана попытка отнесения I_p к MO $\text{N}-\text{C}$, $\text{N}-\text{H}$ и $\text{C}-\text{H}$ типов на основании закономерностей ФЭ спектров, полученных в нашей лаборатории, изучения симметрии заполненных орбиталей и литературных расчетных данных. Фотоэлектронный спектрометр и методика получения спектров описаны ранее [6, 7]. Ошибка в определении I_p разрешенных полос не превышает 0.02 эв.

четырех I_p , приведенная в таблице, основана на следующих фактах: характер изменения I_{p2} при последовательном метилировании аммиака указывает на то, что он обусловлен ионизацией электронов из CH-связывающей орбитали; отталкивание орбиталей $4a'$ (CH) и $5a'$ ($2p_z$ N) приводит к расщеплению орбитали e (CH_3) (на величину расщепления, очевидно, влияет и взаимодействие орбитателей $1a''$ (NH) и $2a''$ (CH), приводящее к некоторому понижению I_p последней); положительный индуктивный эффект группы CH_3 должен понизить I_p NH-связывающей орбитали на величину порядка 0.5 эв, перекрывание же с орбиталью $2a''$ (CH) несколько понижает ее энергию, с учетом этого орбитали $1a''$ (NH) разумнее всего отнести $I_p = 15.46$ эв; ФЭ спектр $\text{N}(\text{CH}_3)_3$ и результаты расчета Ллойда [3] указывают на то, что NC-связывающие орбитали лежат ниже CH-связывающих орбиталей.

Диметиламин в рассматриваемой области энергии должен иметь семь потенциалов ионизации, соответствующих MO: a'' (NC), a' (NH), a' (CH), a'' (CH), a' (CH), a'' (CH) и a' ($2p_z$ N). В работе [3] вместо двух I_p , полученных нами (15.05 и 15.49 эв), приводится одно значение потенциала ионизации (15.2 эв). Из четырех орбиталей, преимущественно локализованных на группах CH_3 , только одна орбита a' (CH) может эффективно взаимодействовать с орбиталью $6a'$ ($2p_z$ N), что понижает ее энергию. Действительно, если в спектре первые три полосы, соответствующие CH-связывающим MO, частично перекрываются, то четвертая полоса отделена от предыдущих интервалом в 1.2 эв. Наи высший из полученных потенциалов ионизации (16.70 эв), очевидно, и в этом случае следует отнести к a'' (NC) орбитали. Оставшаяся полоса при 15.49 эв отнесена к MO a' (NH), но не исключена возможность того, что данной орбитали соответствует $I_p = 15.05$ эв, а $I_p = 15.49$ эв обусловлен орбитальной a' (CH).

В молекуле $\text{N}(\text{CH}_3)_3$ в поле симметрии C_3v шесть электронных пар метильных групп дают MO $3a_1 + 3e + 1a_2 + 4e$. В таблице приведены рассчитанные значения энергии MO триметиламина из работы [5], согласно которым NC-связывающая орбита $2e$ лежит выше орбитали $3a_1$ (CH). Основываясь на результатах расчета авторы относят $I_p = 12.30$, 12.90 и 13.85 эв соответственно орбиталам $4e$, $1a_2$ и $3e$, а полосу с максимумом при 15.71 эв — орбитали $3a_1 + 2e$.

Большое различие коэффициентов пропускания электронов разной энергии в секторных электростатических анализаторах, на которых были получены спектры в работах [3-5], затрудняет при интерпретации спектров привлекать анализ площадей полос. Наш прибор в рассматриваемой области энергии электронов не имеет отмеченной дискриминации. Если принять в ФЭ спектре NH_2CH_3 площадь первой полосы за единицу, то площади последующих полос равны 1.34, 1.21, 1.27 и 1.20. Следовательно, сечения ионизации CH_- , NH- и NC-связывающих орбиталей приблизительно равны. В спектре триметиламина полосы в районе 12-14 и 16 эв, отнесенные к первой полосе, соответственно равны 6.65 и 2.42, что дает 1.33 и 0.81 на одну электронную пару при интерпретации, предложенной в работе [5]. При отнесении же первой полосы к сумме орбиталей $2e$ (NC) получаем значения 1.11 и 1.21, что хорошо согласуется со спектром метиламина.

Рассчитанные собственные значения энергии и I_p метиламина (эв)

NH_2CH_3		$\text{N}(\text{CH}_3)_2$		$\text{N}(\text{CH}_3)_3$	
$-\epsilon_j [\text{INDO}]$	I_p ат.	I_p верт.	симметрия MO (C_3v)	$-\epsilon_j [\text{INDO}]$	I_p ат.
8.7	9.08	9.66	$5a' (2p_z \text{N})$	8.4	8.94
12.6	12.30	13.11	$2a'' (\text{CH})$	11.4	12.64
14.6	13.58	14.35	$4a' (\text{CH})$	12.5	13.27
17.6	14.75	15.46	$1a'' (\text{NH})$	15.2	13.85
19.4	16.00	16.89	$3a' (\text{NC})$	16.1	14.40
26.2	—	—	$2a' (2s\text{C})$	19.2	14.95
				20.2	16.10
				25.4	—

NH_2CH_3		$\text{N}(\text{CH}_3)_2$		$\text{N}(\text{CH}_3)_3$	
$-\epsilon_j [\text{INDO}]$	I_p ат.	I_p верт.	симметрия MO (C_3v)	$-\epsilon_j [\text{INDO}]$	I_p ат.
8.7	9.08	9.66	$5a' (2p_z \text{N})$	8.4	8.94
12.6	12.30	13.11	$2a'' (\text{CH})$	11.4	12.64
14.6	13.58	14.35	$4a' (\text{CH})$	12.5	13.27
17.6	14.75	15.46	$1a'' (\text{NH})$	15.2	13.85
19.4	16.00	16.89	$3a' (\text{NC})$	16.1	14.40
26.2	—	—	$2a' (2s\text{C})$	19.2	14.95
				20.2	16.10
				25.4	—

Слабое разрешение полос в районе 12–14 эв не позволяет однозначно установить I_p всех четырех МО. Наиболее разумное, на наш взгляд, разложение полос показано на рисунке штриховой линией. Хотя при таком разложении полосы $I_p 3a_1$ орбитали, испытывающей отталкивание орбитали $4a_1 (2p_z N)$ получается меньше I_p МО $3e$, полосу при 13.85 эв нельзя отнести к орбитали $3a_1$, т. к. невырожденная орбиталь имела бы необычайно большую полуширину.

Обращает на себя внимание уменьшение суммарного расщепления орбиталей CH_3 группы при переходе от диметиламина к триметиламину [2.5 эв в $\text{NH}(\text{CH}_3)_2$ и 1.2 эв в $\text{N}(\text{CH}_3)_3$]. Очевидно, этот факт, как и низкий I_p МО $3a_1$, объясняется уменьшением эффективности перекрывания $e (\text{CH}_3)$ орбиталей между собой и с $2p_z N$ орбиталью при приближении конфигурации связей R_3N к плоской. В ФЭ спектрах молекул CH_3OH , CH_3SH ($\text{CH}_3)_2\text{S}$, имеющих плоскую конфигурацию связей атомов О и S, также расщепления орбиталей $e (\text{CH}_3)$ не наблюдается [8, 9].

Литература

- [1] D. W. Turner, C. Baker, A. D. Baker, C. R. Brundle. Molecular Photoelectron Spectroscopy. Wiley — Interscience, 1970.
- [2] G. R. Branton, D. C. Frost, F. G. Herring, C. A. McDowell. Chem. Phys. Letters, 3, 581, 1969.
- [3] A. B. Cornford, D. C. Frost, F. G. Herring, C. A. McDowell. Canad. J. Chem., 49, 1135, 1971.
- [4] S. Cradock, E. A. V. Ebsworth, W. J. Savage, R. A. Whiteford. J. C. S. Faraday II, 68, 934, 1972.
- [5] D. R. Lloyd, N. Lough. J. C. S. Faraday II, 68, 947, 1972.
- [6] Ф. И. Вилесов, С. Н. Лопатин. ЖТФ., 42, 176, 1972.
- [7] В. И. Вовна, С. Н. Лопатин, Р. Петцольд, Ф. И. Вилесов, М. Е. Акопян. Опт. и спектр., 34, 868, 1973.
- [8] J. H. D. Eland. Phil. Trans. Roy. Soc. Lond. A, 268, 87, 1970.
- [9] S. Cradock, R. A. Whiteford. J. C. S. Faraday II, 68, 281, 1972.

Поступило в Редакцию 5 февраля 1973 г.

УДК 539.186

СТОЛКНОВИТЕЛЬНАЯ ДЕПОЛЯРИЗАЦИЯ ОПТИЧЕСКИ ОРИЕНТИРОВАННЫХ АТОМОВ Хе В МЕТАСТАБИЛЬНОМ 3P_2 -СОСТОЯНИИ ПРИ АЗОТНОЙ И КОМНАТНОЙ ТЕМПЕРАТУРАХ

Р. А. Житников и А. И. Окуневич

В последние годы были предприняты исследования столкновительной деполяризации оптически ориентированных атомов инертных газов в 3P_2 -состоянии [1–3]. Эти исследования проводились только при комнатной температуре. В настоящей работе сообщается о первых результатах исследования столкновительной деполяризации оптически ориентированных атомов Хе в $(5p^56s)^3P_2$ -состоянии при азотной температуре. Выбор Хе обусловлен наличием у него изотопов с различными спинами ядер I ($I=1/2$ для ^{129}Xe , $I=3/2$ для ^{131}Xe и $I=0$ для четных изотопов Хе), что позволяет выяснить роль спина ядра в столкновительной деполяризации.

В эксперименте применялась обычная методика наблюдения сигналов оптической ориентации по изменению поглощения циркулярно-поляризованного света накачки при магнитном резонансе в 3P_2 -состоянии. Источником света служила ксеноновая дисковая лампа в коаксиальном резонаторе. В поглощающей ячейке для создания метастабильей Хе поддерживался емкостной безэлектродный разряд на частоте 30 Мгц. Для наблюдения оптических сигналов магнитного резонанса применялась амплитудная модуляция с частотой 333 Гц резонансного РЧ магнитного поля H_1 . Резонансная частота была постоянной и равнялась 1.4 Мгц. Перед фотодетектором находился интерференционный фильтр ($\lambda=8819 \text{ \AA}$). Резонансные сигналы с выхода фотодетектора после усиления и синхронного детектирования записывались на двухкоординатном самописце.

Поглощающая ячейка и лампа были припаяны к высоковакуумной установке. Для устранения примесей применялся предварительный прогрев установки до 300°C и геттер (металлический Rb). В измерениях использовался спектрально чистый ксенон.

В эксперименте измерялась ширина линии $\Delta H_{1/2}$ магнитного резонанса на половине высоты сигнала в зависимости от амплитуды резонансного РЧ поля H_1 . Экстраполированная на нулевое значение радиополя H_1 ширина линии $\Delta \tilde{H}_{1/2}$ равна: $\Delta \tilde{H}_{1/2} = (\Delta H_{1/2})_p + \delta H$. Здесь $(\Delta H_{1/2})_p$ — вклад в ширину линии от дезориентации при столкновениях атомов Хе в метастабильном 3P_2 -состоянии с атомами Хе в основном 1S_0 -со-